

Análisis y extracción de características de enfermedades de la piel: su aplicación en la detección de varicela

Virginia Arroyo y Julián Oyola

Facultad de Ciencias Exactas y Naturales, Universidad de Buenos Aires

11 de abril de 2014

Contenido

1 Motivación

Contenido

1 Motivación

2 Las imágenes de piel y sus características

Contenido

- 1 Motivación
- 2 Las imágenes de piel y sus características
- 3 Detección de vesículas
 - Espacio de color
 - Detección de bordes
 - Detección de círculos
 - Ecualización del histograma

Contenido

- 1 Motivación
- 2 Las imágenes de piel y sus características
- 3 Detección de vesículas
 - Espacio de color
 - Detección de bordes
 - Detección de círculos
 - Ecualización del histograma
- 4 Discriminación entre varicela y otras enfermedades
 - Construcción de un histograma de referencia
 - Comparación entre una vesícula y la piel normal
 - Comparación entre vesículas de varicela y herpes zóster
 - Técnicas basadas en la comparación de media poblacional

Contenido

- 1 Motivación
- 2 Las imágenes de piel y sus características
- 3 Detección de vesículas
 - Espacio de color
 - Detección de bordes
 - Detección de círculos
 - Ecualización del histograma
- 4 Discriminación entre varicela y otras enfermedades
 - Construcción de un histograma de referencia
 - Comparación entre una vesícula y la piel normal
 - Comparación entre vesículas de varicela y herpes zóster
 - Técnicas basadas en la comparación de media poblacional
- 5 Conclusiones

¿Cómo detectar patrones de enfermedades de la piel?

- ¿Cómo detectar patrones de enfermedades de la piel?
- Resultan naturales y poco complejos para un ser humano
- ¿Y para un ordenador?

¿Cómo detectar patrones de enfermedades de la piel?

- ¿Cómo detectar patrones de enfermedades de la piel?
- Resultan naturales y poco complejos para un ser humano
- ¿Y para un ordenador?
- **Procesamiento digital de imágenes**

Ejemplo: Dos enfermedades



Varicela



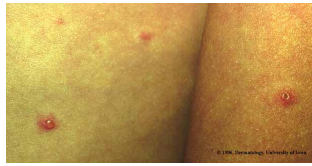
Herpes

Características de las imágenes utilizadas

Características de las imágenes utilizadas

- Heterogeneidad
- Escala
- Ruido
- Luminosidad
- Imperfecciones de la piel
- Elementos ajenos
- Distintas etapas de la enfermedad

Ejemplo: Variabilidad de imágenes para una misma enfermedad



Escala



© 1996, Dermatology, University of Iowa

Técnicas utilizadas y medidas adoptadas

Técnicas y medidas adoptadas

- Elección de un subconjunto de las imágenes

Técnicas utilizadas y medidas adoptadas

Técnicas y medidas adoptadas

- Elección de un subconjunto de las imágenes
- Ecualización del histograma (Contrast-limited adaptive histogram equalization)

Técnicas utilizadas y medidas adoptadas

Técnicas y medidas adoptadas

- Elección de un subconjunto de las imágenes
- Ecualización del histograma (Contrast-limited adaptive histogram equalization)
- Reducción del ruido o suavización utilizando un filtro gaussiano

Técnicas utilizadas y medidas adoptadas

Técnicas y medidas adoptadas

- Elección de un subconjunto de las imágenes
- Ecualización del histograma (Contrast-limited adaptive histogram equalization)
- Reducción del ruido o suavización utilizando un filtro gaussiano
- Elección del espacio de color

Algunas imágenes seleccionadas



© 1996, Dermatology, University of Iowa



© 1996, Dermatology, University of Iowa



© 1996, Dermatology, University of Iowa



© 1996, Dermatology, University of Iowa

Algunas imágenes seleccionadas

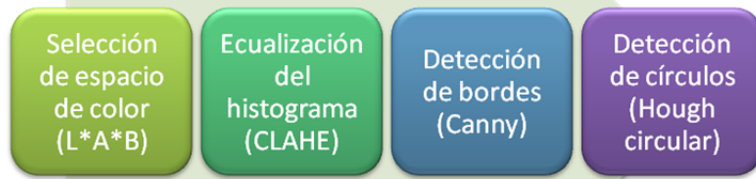


Metodología propuesta

Técnicas de procesamiento digital de imágenes

- Selección de espacio de color
- Detección de bordes
- Detección de círculos
- Ecualización del histograma

Esquema del proceso realizado



Espacio de color

¿Cómo representamos los colores y la luz en el ordenador?

- Espacios de color posibles
- Luminancia vs Crominancia
- YUV vs L^*a^*b

Luminancia: detección de bordes

Crominancia: detección de piel y falsos positivos

Luminancia vs Crominancia



© 1996, Dermatology, University of Iowa

Luminancia - componente L

Luminancia vs Crominancia



Crominancia - componente a

Luminancia vs Crominancia



Crominancia - componente b

Detección de bordes

- Resulta sencillo para el ser humano
- Borde: frontera entre el objeto y el fondo
- Existen varios métodos (Canny, Roberts, Sobel o Prewitt)
- Objetivos de un detector de borde:
 - Baja tasa de error
 - Buena localización del borde
- Método Canny:
 - Robusto contra el ruido
 - Gran adaptabilidad

Método de Canny

Criterios:

- Detectar los bordes sin eliminar ninguno y sin detectar bordes falsos
- Minimizar la diferencia entre la localización real del borde y la que detecta el algoritmo
- Evitar la detección de bordes duplicados

Método de Canny

Etapas del método:

- Suavizado de la imagen: Filtro gaussiano
- Obtención del gradiente: Filtro pasa altos en dirección vertical y horizontal
- Supresión de puntos que no son máximos locales:
Adelgazamiento del ancho de los bordes hasta lograr bordes de un píxel de ancho
- Umbral con histéresis: Función de histéresis basada en dos umbrales; con este proceso se trata de reducir la posibilidad de aparición de contornos falsos

Operaciones morfológicas

- Herramientas muy utilizadas en el procesamiento de imágenes
- Simplificar los datos de una imagen
- Preservar las características esenciales
- Eliminar aspectos irrelevantes
- Operaciones con la que probamos: open, close, clean, bridge

Ejemplo: Bordes detectados en algunas imágenes



© 1996, Dermatology, University of Iowa



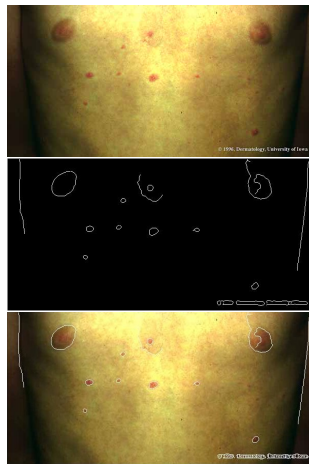
© 1996, Dermatology, University of Iowa



© 1996, Dermatology, University of Iowa



Ejemplo: Bordes detectados en algunas imágenes



Detección de círculos

- ¿Cómo determinar que estamos en presencia de un círculo?
- Transformada de Hough
 - Espacio de Hough
 - Arreglo de acumulación
- Definiciones de la transformada
 - Función de Parámetros de la Transformada
 - Transformada Directa de Hough
 - Transformada Inversa de Hough

Ejemplo: Arreglo de acumulación

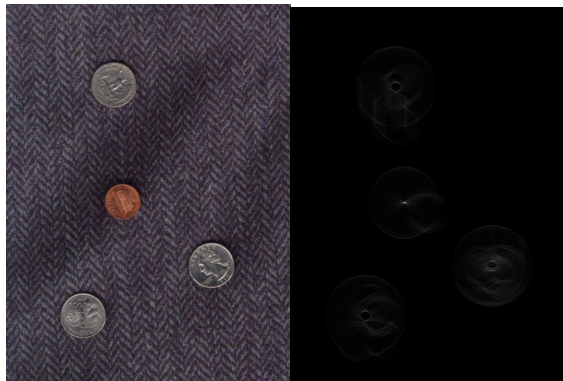


Figura: **Izquierda:** Fotografía original de las monedas. **Derecha:** Arreglo acumulador de votos.

Ejemplo: Arreglo de acumulación



Figura: **Izquierda:** Fotografía original de varicela. **Derecha:** Arreglo acumulador con votos sumados.

Transformada Circular de Hough

Procedimiento realizado:

- Se aplica CHT: Circular Hough Transform. Ecuación
$$(x - x_0)^2 + (y - y_0)^2 = r^2$$
- Selección de candidatos: Ponderación con respecto al máximo y Umbralización
- Radios utilizados
- Eliminación de detecciones duplicadas

Ejemplo: Imagen con bordes detectados



© 1996, Dermatology, University of Iowa

Ejemplo: Imagen con el círculo detectado



© 1996, Dermatology, University of Iowa

Radios Utilizados



Figura: Detección de vesículas con diferentes radios. **Izq:** Bordes detectados. **Centro:** Detección de vesículas con radio $\text{radio} = 40$. **Der:** Detección de vesículas con radio $\text{radio} = 43$.

Radios Utilizados



Figura: Detección de vesículas con diferentes radios. **Izquierda:** radio = 23. **Derecha:** radio = 24.

Eliminación de círculos redundantes



Figura: Izq: Detección de círculos redundantes con $k = \max(r_1, r_2)$.
Der: Detección de círculos redundantes con $k = r_1 + r_2$.

Ecuallización del histograma

¿Qué se desea obtener?

- Incrementar el contraste
- Mejorar la detección

CLAHE: Ecuallización adaptativa limitando el contraste

Ejemplos de aplicación de ecualización

Sin aplicar ecualización



Figura: Detección de vesículas Izq: Bordes detectados. Der: Círculos detectados.

Ejemplos de aplicación de ecualización

Aplicando ecualización



Figura: Detección de vesículas Izq: Bordes detectados. Der: Círculos detectados.

Ejemplos de aplicación de ecualización

Sin aplicar ecualización



Figura: Detección de vesículas Izq: Bordes detectados. Der: Círculos detectados.

Ejemplos de aplicación de ecualización

Aplicando ecualización



Figura: Detección de vesículas Izq: Bordes detectados. Der: Círculos detectados.

Comparación de los espacios de color L*a*b y YCbCr

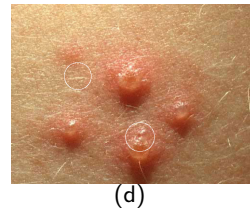
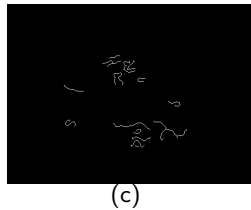
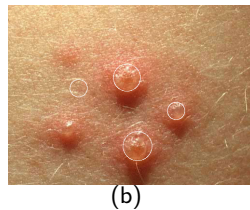
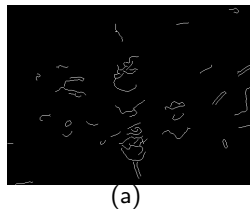


Figura: (a) - (b) Utilizando L*a*b. (c) - (d) Utilizando YCbCr.

Comparación de los espacios de color L*a*b y YCbCr



(a)



(b)



(c)



(d)

Figura: (a) - (b) Utilizando L*a*b. (c) - (d) Utilizando YCbCr.

Discriminación

¿Existen diferencias entre la piel sana y las vesículas?

¿Se puede detectar un falso positivo?

¿Existen diferencias entre las vesículas de la varicela y las de otra enfermedad?

¿Se pueden desarrollar técnicas de detección y discriminación automáticas?

- Análisis comparativo entre la varicela y la piel sana
- Análisis comparativo entre la varicela y otra enfermedad

Técnicas utilizadas

- Técnicas basadas en el histograma de color
 - Construcción de un histograma de referencia
 - Análisis de casos muestra: comparaciones entre el histograma de cada vesícula y
 - el histograma promedio de varicela
 - el histograma promedio de herpes zóster
- Técnicas basadas en la comparación de media poblacional
 - Comparación por distancia de Mahalanobis
 - Test de distribución Hotelling T-Cuadrada
 - Test de ANOVA

Histogramas sobre espacios de color

Análisis del histograma de las distintas componentes de color

- De forma individual
- Histograma bivariado de a pares de componentes

¿Qué espacio de color utilizar?

- L*a*b: Dos componentes de crominancia
- RGB: Información sobre el corrimiento al rojo de las vesículas en relación a la piel normal

Histogramas sobre espacios de color

Análisis del histograma de las distintas componentes de color

- De forma individual
- Histograma bivariado de a pares de componentes

¿Qué espacio de color utilizar?

- L*a*b: Dos componentes de crominancia
- RGB: Información sobre el corrimiento al rojo de las vesículas en relación a la piel normal

Histogramas de referencia: Valores extraídos de un conjunto de vesículas conocidas, contra los cuales comparar las nuevas vesículas

Histogramas

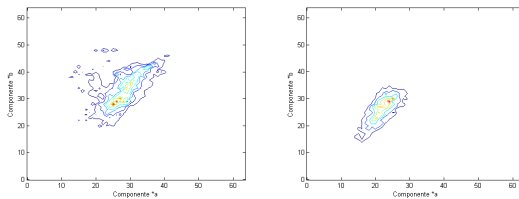


Figura: Histogramas bivariados promedio de varicela y herpes zóster, sobre las variables de crominancia $*a$ y $*b$. **Izq:** Varicela. **Der:** Herpes zóster.

Histogramas

- Leve corrimiento hacia el rojo del histograma de varicela
- Dispersión de valores mayor en el histograma del espacio RGB
- Mayor concentración de valores para el espacio de color L*a*b

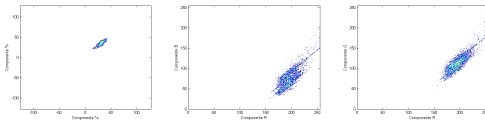


Figura: Histogramas bivariados promedio de la imagen izquierda de la figura, **Arriba izq:** , Variables de crominancia *a y *b. **Arriba der:** Variables de crominancia R y B. **Abajo:** Variables de crominancia R y B.

Divergencia entre histogramas

Mediciones de distancia (o divergencia) entre histogramas.

Indicador buscado: Si la distancia del histograma de la vesícula candidata al promedio está por debajo o por encima de cierto umbral.

Evaluación sobre:

- Norma 1
- Norma 2
- Divergencia de Kullback-Leibler (KLD)

Divergencia de Kullback-Leibler

Mide la diferencia entre dos distribuciones P y Q.

- P representa la distribución real de datos u observaciones (en este caso, la vesícula observada)
- Q representa el modelo teórico (en este caso, el histograma promedio)

Mide la cantidad esperada de bits extra requeridos para codificar ejemplos de P utilizando un código basado en Q.

También llamada “entropía relativa”.

Divergencia de Kullback-Leibler

$$KLD(P||Q) = \sum_i P(i) \ln\left(\frac{P(i)}{Q(i)}\right).$$

La KLD no es una distancia, porque no cumple con la condición de simetría.

Utilizamos una variante simétrica de la KLD:

$$KLD_{sym}(P||Q) = \frac{KLD(P||Q) + KLD(Q||P)}{2}.$$

Algunas imágenes analizadas



Figura: Vesículas analizadas. (a) - (b) - (c) - (d) Vesículas de varicela. (e) - (f) - (g) Vesículas de herpes zóster.

Resultados: Comparación entre varicela y piel

Los mejores resultados se observan sobre KLD_A , KLD_B y KLD_{AB} .

Imagen	Círculo detectado	KLD_A	KLD_B	KLD_{AB}
Varicela 1	Falso positivo	24,26	16,98	32,60
Varicela 2	Falso positivo	27,54	17,22	45,41
Varicela 3	Falso positivo	25,71	17,39	28,28
Varicela 4	Falso positivo	22,52	15,74	24,90
Varicela 1	Vesícula 1	0,33	1,69	6,43
Varicela 1	Vesícula 2	0,51	1,16	7,15
Varicela 1	Vesícula 3	1,13	4,46	11,39
Varicela 1	Vesícula 4	0,68	2,60	11,17
Varicela 2	Vesícula 1	2,00	0,35	12,87
Varicela 3	Vesícula 1	2,17	3,87	12,66
Varicela 3	Vesícula 2	0,68	0,50	6,06
Varicela 3	Vesícula 3	1,49	0,49	7,01
Varicela 3	Vesícula 1	1,83	5,07	11,46

Cuadro: Mediciones de KLD entre histogramas de círculos detectados y los histogramas promedio, sobre componentes *a y *b.

Comparación entre vesículas de varicela y herpes zóster

Mediciones realizadas sobre:

- Un conjunto de círculos detectados de varicela
- Un conjunto de círculos detectados de herpes zóster
- Comparación contra el histograma promedio de la varicela

Resultado esperado:

- Divergencias de las vesículas de varicela: dentro un intervalo observable
- Divergencias de los histogramas de herpes: pocas o ninguna de las vesículas dentro de ese intervalo

Resultados: Comparación entre varicela y herpes zóster

Resultados no alentadores:

Imagen 14	Círculo detectado	KLD_A	KLD_B	KLD_{AB}
Herpes 1	Vesícula 1	7,86	10,42	18,73
Herpes 1	Vesícula 2	17,79	15,80	22,70
Herpes 1	Vesícula 3	7,24	11,72	20,27
Herpes 1	Vesícula 4	8,39	14,63	20,15
Herpes 1	Vesícula 5	7,42	10,35	17,85
Herpes 1	Vesícula 6	5,41	4,95	15,72
Herpes 2	Vesícula 1	4,03	5,78	12,86
Herpes 2	Vesícula 2	2,93	1,99	11,70
Herpes 2	Vesícula 3	6,35	6,79	15,60
Herpes 3	Vesícula 1	26,25	24,90	31,63
Herpes 3	Vesícula 2	4,81	9,57	19,64
Varicela 1	Vesícula 1	0,33	1,69	6,43
Varicela 1	Vesícula 2	0,51	1,16	7,15
Varicela 1	Vesícula 3	1,13	4,46	11,39
Varicela 1	Vesícula 4	0,68	2,60	11,17
Varicela 2	Vesícula 1	2,00	0,35	12,87
Varicela 3	Vesícula 1	2,17	3,87	12,66
Varicela 3	Vesícula 2	0,68	0,50	6,06
Varicela 3	Vesícula 3	1,49	0,49	7,01
Varicela 3	Vesícula 1	1,83	5,07	11,46

Cuadro: Mediciones de KLD entre círculos detectados de varicela y herpes zóster, contra el histograma promedio de varicela

Pruebas adicionales

- Medición de distancias: la norma 1 y norma 2
- Histogramas de componentes individuales de RGB
- Histogramas bivariados de componentes de RGB
- Histogramas de componentes individuales de L*a*b

En ninguna de estas pruebas se observó que el conjunto de mediciones de la varicela y del herpes zóster cayeran en intervalos disjuntos.

Conclusión parcial

- Para este conjunto de imágenes utilizadas, el análisis de la divergencia de histogramas entre la varicela y el herpes zóster no alcanza para determinar un umbral para distinguir entre ambas enfermedades.
- El mismo método arroja resultados favorables para determinar si una vesícula detectada es un falso positivo (piel) o una vesícula real de varicela.

Distancia de Mahalanobis

La distancia Mahalanobis entre dos vectores aleatorios multidimensionales x e y , provenientes de la misma población, se define como:

$$d_{mahal}(\vec{x}, \vec{y}) = \sqrt{(\vec{x} - \vec{y})^T S^{-1} (\vec{x} - \vec{y})}. \quad (1)$$

Siendo \vec{x} e \vec{y} los vectores entre los cuáles se desea medir la distancia.

Distancia de Mahalanobis

La distancia Mahalanobis entre un vector multivariado x a un conjunto de valores con media μ , y matriz de covarianza S , se define como:

$$D_{mahal}(x) = \sqrt{(x - \mu)^T S^{-1} (x - \mu)}. \quad (2)$$

$$x = (x_1, x_2, x_3, \dots, x_n)^T$$

$$\mu = (\mu_1, \mu_2, \mu_3, \dots, \mu_n)^T$$

Distancia de Mahalanobis

- Similar a la distancia euclídea
- Sirve para determinar la similitud entre los dos vectores
- A diferencia de la distancia euclídea, tiene en cuenta la correlación entre las variables
- Se adapta mejor para distribuciones simétricas no esféricas
- Es útil para determinar la distancia de un punto a la media de una distribución, o la distancia entre las medias de dos distribuciones
- Entonces, puede indicar si los píxeles de una vesícula detectada son más similares a los de varicela o a los de herpes zóster

Resultados: Comparación por distancia de Mahalanobis

Resultados favorables para discriminar los falsos positivos, pero no para distinguir entre vesículas de varicela y de herpes zóster.

Imagen 14	Círculo detectado	D_L	D_A	D_B	D_{LA}	D_{LB}	D_{AB}
Varicela 1	Falso positivo 1	13,2	19,2	0,1	20,5	23,4	35,4
Varicela 1	Falso positivo 2	9,5	19,4	0,0	20,0	16,1	34,2
Varicela 1	Falso positivo 3	5,1	14,6	0,0	15,5	8,0	24,6
Varicela 1	Falso positivo 4	11,0	15,3	0,1	16,7	19,2	27,7
Varicela 1	Vesícula 1	1,5	3,0	0,9	5,3	3,0	3,7
Varicela 1	Vesícula 2	3,6	4,5	1,2	11,7	7,5	5,3
Varicela 1	Vesícula 3	1,7	1,6	0,3	3,5	2,4	2,0
Varicela 1	Vesícula 4	2,5	4,7	0,9	7,5	4,1	5,6
Herpes 1	Vesícula 1	0,90	2,70	1,60	6,29	4,19	3,70
Herpes 1	Vesícula 2	1,14	2,64	1,16	3,48	1,97	3,50
Herpes 2	Vesícula 1	2,94	2,69	1,00	13,53	8,38	3,15
Herpes 2	Vesícula 2	1,74	4,75	1,63	14,37	7,21	5,38
Herpes 3	Vesícula 1	1,39	6,83	1,95	17,51	6,48	7,53
Herpes 3	Vesícula 2	0,98	3,62	1,86	7,59	4,42	4,02

Cuadro: Mediciones de promedio de D_{mahal} entre círculos detectados de varicela, herpes zóster y falsos positivos, contra el histograma promedio de varicela

Distribución poblacional del color de la vesículas

- Distribuciones de color de ambas enfermedades muy similares
- ¿Pertenecen a una misma población?
- ¿Son muestras de la misma variable aleatoria?
- Pruebas estadísticas para determinar su homogeneidad
 - Test de distribución Hotelling T-Cuadrada
 - Test de ANOVA

Test de distribución Hotelling T-Cuadrada

- Asumiendo dos distribuciones multinormales y con matrices de covarianza idénticas, dada la hipótesis nula H_0 que ambas medias son iguales $\mu_1 = \mu_2$, puede indicar si hay suficiente evidencia para rechazar H_0 .
- Vector de diferencia utilizado: distancia de Mahalanobis.
 - Entre los píxeles de una vesícula de varicela y el histograma promedio de varicela
 - Entre los píxeles de una vesícula de herpes zóster y el histograma promedio de varicela

Resultados: Test de distribución Hotelling T-Cuadrada

- En todos los casos el test arrojó $p = 0$
- Indica que, utilizando este test, **no hay evidencia suficiente** para rechazar la hipótesis nula de que ambas distribuciones tienen la misma media.

Test de ANOVA (Analysis of Variance)

Evaluar si se puede rechazar la hipótesis nula H_0 de igualdad de las medias.

- Tomar imágenes representativas
- Construir una clase con los valores para las vesículas de cada imagen
- Medir la distancia entre las medias de las clases (e intraclasses también)

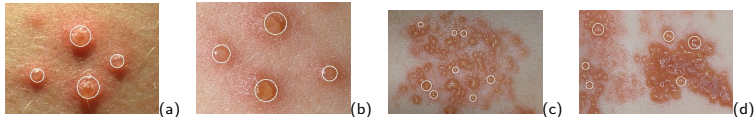


Figura: Vesículas detectadas. (a) - (b) Vesículas de varicela. (c) - (d) Vesículas de herpes zóster.

Mediciones: Diferencias entre medias de varicela y herpes zóster (comp. *a)

Distancia entre medias	Intervalo	Comparación de medias
$\mu(a) - \mu(c) = 9,1967$	[8,8831, 9,5104]	Interclases
$\mu(a) - \mu(d) = 6,1135$	[5,8445, 6,3826]	Interclases
$\mu(b) - \mu(c) = 6,5746$	[6,2689, 6,8802]	Interclases
$\mu(b) - \mu(d) = 3,4913$	[3,2317, 3,7509]	Interclases
$\mu(a) - \mu(b) = 2,6222$	[2,3835, 2,8609]	Intraclasses
$\mu(c) - \mu(d) = -3,0832$	[-3,4131, -2,7533]	Intraclasses

Cuadro: Comparación entre clases de varicela y herpes zóster, sobre componente *a

Mediciones: Diferencias entre medias de varicela y herpes zóster (comp. *Cb)

Distancia entre medias	Intervalo	Comparación de medias
$\mu(a) - \mu(c) = -8,3343$	[-8,6310, -8,0376]	Interclases
$\mu(a) - \mu(d) = -8,0301$	[-8,2846, -7,7756]	Interclases
$\mu(b) - \mu(c) = 5,2527$	[4,9636, 5,5418]	Interclases
$\mu(b) - \mu(d) = 4,9486$	[4,7030, 5,1941]	Interclases
$\mu(a) - \mu(b) = -3,0816$	[-3,3073, -2,8558]	Intraclasses
$\mu(c) - \mu(d) = 0,3042$	[-0,0079, 0,6162] (**)	Intraclasses

Cuadro: Comparación entre clases de varicela y herpes zóster, sobre componente *Cb

Mediciones: Diferencias entre medias de varicela y herpes zóster (comp. *Cr)

Distancia entre medias	Intervalo	Comparación de medias
$\mu_{(a)} - \mu_{(c)} = 12,1550$	[11,8231, 12,4869]	Interclases
$\mu_{(a)} - \mu_{(d)} = 8,9064$	[8,6217, 9,1910]	Interclases
$\mu_{(b)} - \mu_{(c)} = -8,0765$	[-8,3999, -7,7532]	Interclases
$\mu_{(b)} - \mu_{(d)} = -4,8279$	[-5,1026, -4,5532]	Interclases
$\mu_{(a)} - \mu_{(b)} = 4,0785$	[3,8259, 4,3310]	Intraclasses
$\mu_{(c)} - \mu_{(d)} = -3,8426$	[-3,5977, -2,8996]	Intraclasses

Cuadro: Comparación entre clases de varicela y herpes zóster, sobre componente *Cr

Resultados: Test de ANOVA

Asumiendo una distribución normal de los valores y varianzas iguales,

Hipótesis nula H_0 : las medias de los colores de las vesículas de varicela y herpes zóster son iguales.

- Componente a*: diferencia $\mu_{(\text{varicela})} - \mu_{(\text{herpeszóster})} = 5,8608$, con una confianza del 100 % en el intervalo [5,7044 – 6,0171].
- Componente *Cb: diferencia $\mu_{(\text{varicela})} - \mu_{(\text{herpeszóster})} = -6,4700$, con una confianza del 100 % en el intervalo [-6,6175 – -6,3225].
- Componente *Cr: diferencia $\mu_{(\text{varicela})} - \mu_{(\text{herpeszóster})} = 7,9246$, con una confianza del 100 % en el intervalo [7,7563 – 8,0929].

Resultados: Test de ANOVA

- Existe suficiente evidencia estadística para rechazar la hipótesis nula de que las medias de las dos clases son iguales
- Además, la diferencia interclases es mayor que la diferencia intraclases
- Sin embargo, hay demasiada variabilidad en los datos para poder aceptar la otra hipótesis nula: que las imágenes pertenecientes a la misma clase tienen la misma media.

Conclusiones sobre detección

- Método para detección de vesículas sobre fotografías en bruto
- Espacio de color L*a*b útil para detección de bordes y discriminación
- Buen desempeño de método de Canny y CHT

Conclusiones sobre discriminación

- Análisis de discriminación basado en el color interno de las vesículas
- Resultados favorables en la discriminación de falsos positivos
- Resultados poco alentadores en la discriminación de varicela y herpes zóster
- Test de ANOVA permite rechazar la hipótesis nula de que las medias de varicela y herpes son iguales
- Variabilidad y poca cantidad de las imágenes de muestra

Trabajo futuro

- Detección de piel: segmentación por color
- Detección de ampollas que no tengan forma circular
- Análisis de la distribución de las vesículas
- Escala de las imágenes
- Aprendizaje automático sobre el histograma del color de las ampollas detectadas
- Biblioteca de imágenes
- Comparación con otras enfermedades

Preguntas?

...

Gracias!

Virginia Arroyo (virginia.arroyo@gmail.com)
Julián Oyola (joyola@dc.uba.ar)

Directores:

Anita Ruedin (ana.ruedin@dc.uba.ar)
Daniel Acevedo (dacevedo@dc.uba.ar)